

О ВОЗБУЖДЕНИИ ТОНКОПЛЕНОЧНОГО ОПТИЧЕСКОГО ВОЛНОВОДА ПРИ ПАДЕНИИ СВЕТА ВБЛИЗИ НОРМАЛИ

C.B.Кудрявцев, И.И.Мохунь, М.О.Сопин

Черновицкий государственный университет им. Ю.Федьковича,
274012, Черновцы, Украина
(Поступило в Редакцию 23 июня 1994 г.)

В последнее время были получены экспериментальные результаты в области разработки прецизионных многофункциональных интегрально-оптических датчиков, работающих в режиме падения света вблизи нормали [1]. В то же время из теории антенн бегущей волны хорошо известен так называемый эффект нормали, заключающийся в резком ухудшении эффективности приема в направлении нормали к решетке. Основываясь на этом факте, авторы [2] предлагали для обеспечения оптимальной эффективности ввода не применять решетки с периодом гофра Λ , удовлетворяющим условию $\Lambda = \lambda/n^*$ (n^* — эффективный показатель преломления волноводной моды). Между тем исследования аномального отражения света гофрированной пленкой при оклонормальном падении излучения на нее [3] указывают на то, что ввод в пленку осуществляется достаточно эффективно. Таким образом, возникает вопрос о проведении количественных оценок эффективности ввода v для волноводных гофрированных структур с периодом гофра $\Lambda \approx \lambda/n^*$.

В настоящей работе методом зигзагообразных волн [4] предлагается решение задачи о вводе излучения в пленку с периодом гофрирования, близким к брэгговскому $\Lambda \approx \lambda/n^*$.

При нормальном падении плоской монохроматической TE -волны на гофрированную поверхность волновода в пленке одновременно возбуждаются две моды, распространяющиеся в противоположных направлениях и взаимодействующие между собой во втором порядке дифракции. Представим падающую волну набором N лучей с единичной амплитудой поля в каждом из них, отстоящих друг от друга на расстояние l . Гофрирование положим синусоидальным. Обозначим через A_s^\pm амплитуды волн, распространяющихся в положительном (знак "+") и отрицательном (знак "-") направлениях оси $0z$ на s -м участке пленки в отсутствие брэгговской связи между ними. Тогда, согласно [5], для A_s^+ имеет место

$$A_s^+ = a_{+1} e^{i(s-1)k n_+^* l} \frac{1 - e^{(1\delta_+ - \eta/2)s}}{\eta/2 - i\delta_+}. \quad (1)$$

Нетрудно записать аналогичное выражение для A_s^-

$$A_s^- = a_{-1} e^{i(1-s)k n_-^* l} \frac{1 - e^{(1\delta_- - \eta/2)(N-s+1)}}{\eta/2 - i\delta_-}. \quad (2)$$

Здесь $a_{\pm 1}$ — относительная амплитуда волны ± 1 -го порядка, возникшей в пленке в результате падения света из воздуха на решетку; $n_{\pm}^* = \pm n^*$ — эффективные показатели преломления мод; δ_{\pm} — расстройки от условия точного резонанса для каждой из мод; η — дифракционная эффективность гофра; $k = 2\pi/\lambda$ — модуль волнового вектора. Волна A_s^- по мере распространения в пределах дифракционной решетки образует в результате брэгговской дифракции в -2 -м порядке переотраженную волну, волновой вектор которой совпадает с волновым вектором волны A_s^+ . Для амплитуды суммарной волны, распространяющейся в положительном направлении оси $0z$, используя технику суммирования лучей [4], нетрудно получить выражения

$$A_s^{+'} = A_s^+ + e^{i\varphi^-} a_{-2} \sum_{p=1}^s A_{p+1}^- \left(e^{i\varphi^+} R_g \right)^{s-p}, \quad s = \overline{1, N-1},$$

$$A_N^{+'} = A_N^+ + e^{i\varphi^-} a_{-2} \sum_{p=1}^{N-1} A_{p+1}^- \left(e^{i\varphi^+} R_g \right)^{N-p}, \quad s = N, \quad (3)$$

где штрих указывает на учет брэгговской связи между волнами.

Таким же образом можно получить выражения для амплитуды суммарной волны, распространяющейся в отрицательном направлении оси $0z$,

$$A_s^{-'} = A_s^- + e^{i\varphi^+} a_{-2} \sum_{p=1}^{N-s+1} A_{s+p-2}^+ \left(e^{i\varphi^-} R_g \right)^{p-1}, \quad s = \overline{2, N},$$

$$A_1^{-'} = A_1^- + e^{i\varphi^+} a_{-2} \sum_{p=1}^{N-1} A_p^+ \left(e^{i\varphi^-} R_g \right)^p, \quad s = 1. \quad (4)$$

Здесь φ^{\pm} — набег фазы в положительном (отрицательном) направлении $0z$ на зигзагообразном пути, заключенном между двумя соседними точками поворота; R_g — коэффициент отражения от верхней гофрированной границы; a_{-2} — относительная амплитуда дифрагированной волны -2 -го порядка в пленке.

Мощность двух противоположно распространяющихся волн на произвольном участке волновода запишется [4]

$$I_s = |A_s^{+'}|^2 - |A_s^{-'}|^2. \quad (5)$$

Подставляя в правые части выражений для амплитуд связанных волн (3) и (4) значения амплитуд свободных волн из (1) и (2) и производя суммирование, нетрудно по формуле (5) найти мощность, переносимую в пленке.

Эффективность ввода определяется как отношение вводимого в ли-нию (негофрированный участок) потока энергии к потоку, падающему

на гофрированный участок [5]. Итак, эффективность ввода в правую линию можно рассчитать по формуле

$$\nu_N = \frac{P_N}{P_{in}} = \frac{2I_N h^* n_0 \sin \theta_0}{n_2 L \cos \theta_2}, \quad (6)$$

где h^* — эффективная толщина волновода, L — длина гофрированного участка, θ_0 — угол распространения моды в пленке, θ_2 — угол падения излучения на гофр.

Наконец выразим расстройки δ_{\pm} через отклонение $\Delta\Lambda$ периода гофра от брэгговского значения и расстройку $\Delta\theta_2$ по углу ввода. Такое разделение расстроек является необходимым, так как технологически невозможно получить решетку с периодом, точно удовлетворяющим условию Брэгга; угол ввода можно менять в ходе эксперимента. Запишем условие ввода в ± 1 -м порядке дифракции $n_2 \sin \theta_2 = \tilde{n}_{\pm}^* \mp \lambda/\Lambda$. Здесь \tilde{n}_{\pm}^* — возмущенные (т.е. вычисленные в присутствии гофра) значения эффективных показателей преломления мод. Отсюда $\Delta n_{\pm}^* = \pm \pm \lambda/\Lambda - \tilde{n}_{\pm}^* + n_2 \sin \theta_2$, или $\Delta n_{\pm}^* = \mp(\lambda/\Lambda^2)\Delta\Lambda \pm |\operatorname{Re} \delta n^*| + n_2 \cos \theta_2 \Delta\theta_2$ ($\operatorname{Re} \delta n^*$ — действительная часть возмущенной поправки). Сразу видно, что за счет расстройки по углу невозможно добиться выполнения условия резонанса одновременно для обеих мод. Воспользовавшись соотношением [5] $\delta_{\pm} = -(2h^* k n_{\pm}^* \Delta n_{\pm}^* / (n_0^2 - n_{\pm}^{*2})^{1/2})$, нетрудно получить окончательный результат.

На рис. 1 приведены результаты численных расчетов зависимости эффективности ввода в правую линию от угла падения излучения на волновод для одной и той же волноводной структуры при различных

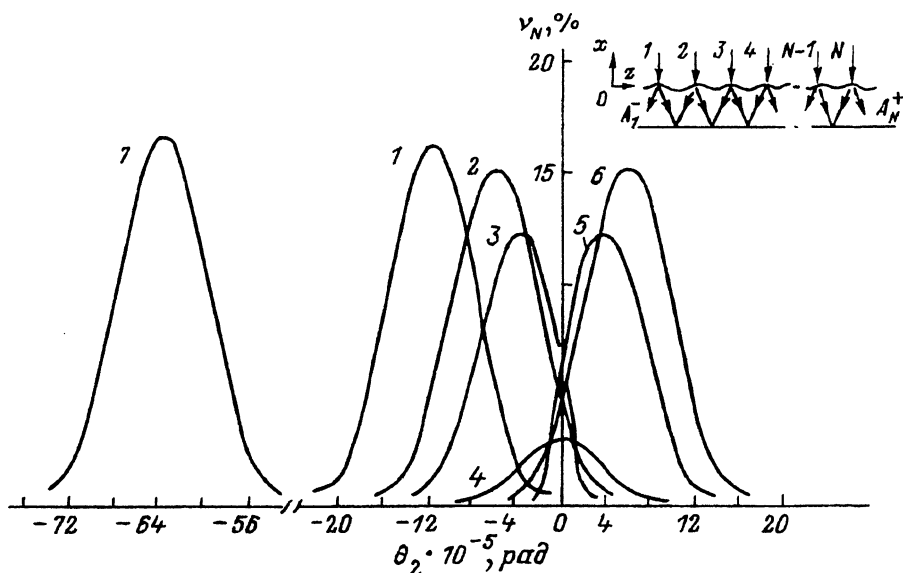


Рис. 1. Зависимость эффективности ввода ν_N от угла падения θ_2 для различных гофрирований.

Д: 1 — $|\operatorname{Re} \delta n^*|$, 2, 3 — $0.5|\operatorname{Re} \delta n^*|$, 4 — $|\operatorname{Re} \delta n^*|$, 5 — $1.5|\operatorname{Re} \delta n^*|$, 6 — $2|\operatorname{Re} \delta n^*|$, 7 — $10|\operatorname{Re} \delta n^*|$.

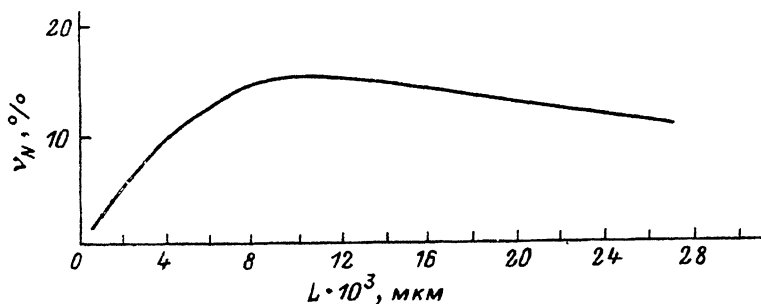


Рис. 2. Зависимость эффективности ввода от длины решетки.

расстройках $\Delta \equiv (\lambda/\Lambda^2)\Delta\Lambda$ периода гофрирования от брэгговского. В качестве структуры использовалась GaAs пленка. При этом $n_2 = 1$ (воздух), $n_0 = 3.628$ (пленка), $n_1 = 3.546$ (подложка), глубина гофрирования $\sigma = 0.01$ мкм, толщина пленки $h = 0.88$ мкм, длина волны света $\lambda = 1$ мкм, длина решетки $L = 10^4$ мкм. Кривая 2 соответствует случаю строгого равенства $\Lambda = \lambda/n^* = 0.27762$ мкм. Наибольшая эффективность будет для решеток с таким Λ , при котором для обеих мод одновременно выполняется условие резонанса (кривая 4). Для сравнения приведена кривая 7, описывающая эффективность возбуждения одномодовой структуры.

На рис. 2 приведена оптимизация длины гофрированного участка для брэгговской решетки. Во всех расчетах предполагалось, что длина решетки равна диаметру светового пучка. Относительные амплитуды волн $a_{\pm 1}$, a_{-2} и R_g брались из решения задачи о дифракции света на синусоидальной решетке [3]. Заметим, что учет многократных переотражений, очевидно, не приведет к качественно иным результатам, так как в выражениях для амплитуд появляются дополнительные члены, достаточно быстро убывающие с расстройкой.

Таким образом, теоретические оценки показывают, что в гофрированный диэлектрический волновод, работающий в режиме оклонормального падения света, можно достаточно эффективно вводить излучение. Предложенную модель возможно использовать для качественного анализа и количественных оценок эффективности возбуждения интегрально-оптических структур с периодом гофрирования, близким к брэгговскому: $\Lambda \approx \lambda/n^*$.

Авторы благодарят В.А.Сычугова за внимание и полезные дискуссии.

Список литературы

- [1] Конопальцева Л.И., Куряев С.В., Мухунь И.И. // Тез. докл. XIV Междунар. конф. по когерентной и нелинейной оптике. Л., 1991. Т. 1. С. 196–197.
- [2] Аникин И.А., Горобец А.П., Овчаренко О.Н., Осовицкий А.Н. // Изв. АН СССР. Сер. физ. 1982. Т. 46. № 10. С. 2035–2040.
- [3] Аверцкий И.А., Сычугов В.А., Тищенко А.В. // Тр. ИОФ АН. М., 1991. Т. 34.
- [4] Введение в интегральную оптику / Под ред. М. Барноски. М.: Мир, 1977.
- [5] Сычугов В.А., Тищенко А.В. Препринт ИОФ АН СССР. М.: 1990. № 88. 23 с.